

# I-15 傾斜角を持つアングル接合部の弾性変形(不完全剛結特徴)

九州大学工学部 正員 山崎徳也  
日本国有鉄道 正員 犀木武

(I) 緒言 フラミンガリヒ柱とか直交する場合について、ハリの上下端および腹部の各取付アングルによる接合部の弾性変形と互いに完全剛結特性( $\frac{1}{2} = \frac{M_0}{N_0}$ )の理論的解を発表したが、ついで拡張して傾斜角を持つアングル接合部を考慮する。曲線材や折線材が柱に取り付けられる状態に適用するもので前記直交取付はけとは本解の特例に含まれる。これまで直とて実験に依存し、したがって限られたFD法の特定接合部に限定されたりして不完全剛結特性は一例として一般化され、著者がフランクに発表した不完全剛結性を考慮してラーメン解法<sup>(2)</sup>にて一般を活用する方法。

(II) アングル接合部の弾性変形 フランクの発表<sup>(3)</sup>と同じく接合部の変形構造より考察に次の如きである。

- ①. ハリと柱との間にクリアランスがない場合。ただし、クリアランスがなくとも結合アングルがハリ下端以下にある場合は除外。
- ②. ハリと柱との間にクリアランスがある場合。ただし、前項の除外例を含む。

(1) 不完全剛結部でハリ下端を中心とした回転を行い、(2)では結合アングルのうち最下端にあるアングル上に回転中心があると考えられ、この回転中心を最下端アングル上におけるハリ取付のリバート線に仮定した。したがって、このアングルは便宜上弹性支承アングルと呼んで他の一般アングルと区別する。傾斜角を有する接合部には一般に端モーメント( $M_0$ )、軸力( $N_0$ )およびせん断力( $P_0$ )が働くが、せん断力の影響は小さく、著者の計算によれば普通の接合部では5%程度であることを無視し、 $M_0, N_0$ が働く場合を以て、結合アングルに働く諸力は変形状態から考えてy-z方向の2力(Y, Z)とX軸に平行な軸のモーメント(M)であり、またこれらと相等く並方向の諸力をハリ(剛体と見做す)が受けたことになる。(図-1参照)。したがって、これらに作用する諸力と附与外力 $M_0, N_0$ を全く考慮して釣合式ある。他方アングルの幾何学的変形とエネルギー法より算出される変位とを等置して条件式ある。よってこれら諸式を連立して解けばアングル接合部の弾性変形すなわち不完全剛結特性を理論的に求めることになる。いよいよ一般的に上下端アングルあり、腹部アングルも併せた接合部を想定し、前者にはオフセット $\gamma$ を、後者にはオフセット $\gamma'$ を表す。

- (1)の場合、ハリは各アングルからの諸力および $M_0, N_0$ の他にその回転中心にたいへん反力 $R_y, R_z$ を受ける(図-1参照)。

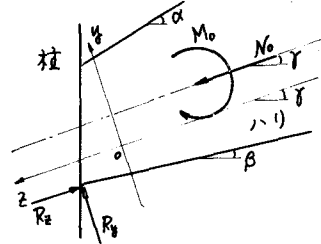


図-1.

$$\begin{aligned} \phi + p(x, y, z) & \delta_y = r \cos \phi, \\ & -r \cos(\phi_p + \phi) \\ \phi + p(x, y, z) & \delta_z = r \sin(\phi_p + \phi) \\ & -r \sin \phi_p \end{aligned}$$

図-2

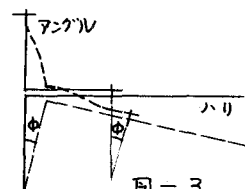


図-3

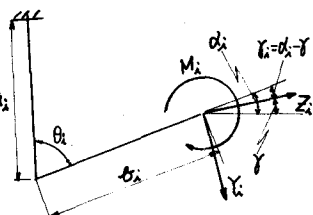


図-4

$$\begin{aligned} \delta_{xi} &= (z_i - z)(1 - \cos \phi) + (y_i - y_0) \sin \phi, \quad \delta_{yi} = (y_i - y_0)(1 - \cos \phi) + (z_i - z_0) \sin \phi \quad i=1, 2, \dots, n \\ \delta_{zi} &= (z_i - z)(1 - \cos \phi) + (y_i - y_0) \sin \phi, \quad \delta_{yz} = (y_i - y_0)(1 - \cos \phi) + (z_i - z_0) \sin \phi \quad i=1, 2, \dots, l \end{aligned} \quad (2)$$

更にアングルのハリ取付リバート線に注目すれば図-3の如く回転の幾何的条件より次式となる。

$$\theta_i = \phi \quad \text{ただし } i=1, 2, 3, \dots, n, \quad \phi_j = \phi \quad \text{ただし } j=1, 2, 3, \dots, l. \quad (3)$$

他方これら $\delta, \phi$ はエネルギー法により次の如く算出される。

- (1) 上端アングル。片持ハリとて曲げモーメントのみを考慮すればエネルギー法

$$\begin{aligned} W_i &= \int_{B_i}^L \frac{1}{Z B_i} \{ M_i + Y_i x \cos \theta_i + Z_i x \sin \theta_i \}^2 dx + \int_{B_i}^L \frac{1}{Z B_i} [M_i + Y_i x \cos \theta_i - x \cos(\theta_i + \gamma_i)] \\ &+ Z_i \{ \theta_i \sin \theta_i - x \sin(\theta_i + \gamma_i) \}^2 dx \quad B_i = E \frac{\alpha_i^3}{72}, \quad \gamma_i = \alpha_i - \gamma \end{aligned}$$

i) 下端が Castigliano の定理より

$$\frac{\partial W_i}{\partial Y_i} = \delta_{2i} = \frac{1}{B_i} (A_{ai} M_i + F_{ci} Y_i + C_{ai} Z_i)$$

$$\therefore V_i A_{ai} = a_i t_i \sin Y_i + \frac{t_i^2}{2} \sin^2 Y_i - \frac{a_i^2}{2} \sin(2\theta_i + \phi_i)$$

$$A_{ai} = a_i t_i \cos Y_i + \frac{t_i^2}{2} \cos^2 Y_i - \frac{a_i^2}{2} \cos(2\theta_i + \phi_i)$$

$$F_{ci} = t_i^2 (a_i + \frac{t_i}{3}) \sin Y_i \cos Y_i - \frac{1}{2} a_i^2 t_i \{ \sin Y_i \cos(2\theta_i + \phi_i) + \cos Y_i \sin(2\theta_i + \phi_i) \} + \frac{a_i^3}{3} \sin(2\theta_i + \phi_i) \cos(2\theta_i + \phi_i)$$

$$\frac{\partial W_i}{\partial Z_i} = \delta_{2i} = \frac{1}{B_i} (A_{ai} M_i + F_{ci} Y_i + C_{ai} Z_i) \quad \text{--- ④}$$

$$\frac{\partial W_i}{\partial M_i} = \varphi_i = \frac{1}{B_i} \{ M_i (a_i + b_i) + A_{ai} Y_i + A_{ai} Z_i \}$$

$$C_{ai} = t_i^2 (a_i + \frac{t_i}{3}) \sin Y_i - A_{ai} t_i \sin Y_i \sin(2\theta_i + \phi_i) + \frac{a_i^3}{3} \sin^2(2\theta_i + \phi_i)$$

$$C_{ai} = t_i^2 (a_i + \frac{t_i}{3}) \cos^2 Y_i - A_{ai} t_i \cos Y_i \cos(2\theta_i + \phi_i) + \frac{a_i^3}{3} \cos^2(2\theta_i + \phi_i)$$

ii) 腹部アングル  $BBC'C$  面は  $Y_i$  面と平行、  $AAC'C$  面は  $Z_i$  面と平行である角度を持つとした。(図-5 参照)

このアングルのエネルギー  $W_j$  は、プレート  $AAC'C$  の振りによるものと、隅角部の剛体条件から

発生する曲げモーメントによるものとなりる。(軸力セン断力および各フレットのその面内での

曲げは無視する。)

$$W_j = \frac{a_i}{2GK} [M_j + (Z_j \sin Y_j + Y_j \cos Y_j)^2] \frac{t_i^3}{2} \sin^2 \theta_i + \frac{C_{ij}}{2B_j} \left( \frac{t_i}{I_j \cos \alpha_i} \right)^2 \frac{R_i^3}{12} M_j^2 + \frac{C_{ij}}{2B_j \cos \alpha_i} (Z_j \cos Y_j + Y_j \sin Y_j)^2$$

$$\therefore V_i B_j = E \frac{R_i^3}{12}, \quad R_i = E \cdot \frac{t_i^3}{12}, \quad I_j = \frac{t_i^3}{12}$$

$$C_{ij} = \frac{a_i^3}{12} + \left( a_i^2 (a_i \cos \alpha_i + \frac{4}{3} t_i^2) \cos^2 Y_j \cos^2 \theta_i + \frac{t_i^2}{3} (a_i \cos \alpha_i + \frac{4}{3} t_i^2) \cos^2 Y_j \sin^2 \theta_i \right) \cos^2 \alpha_i \sin^2 \theta_i$$

Castigliano の定理を適用すれば、

$$\frac{\partial W_i}{\partial Z_j} = \delta_{2j} = A_{aj} M_j + F_{cj} Y_j + C_{aj} Z_j \quad \text{--- ⑤}$$

$$\frac{\partial W_i}{\partial Y_j} = \delta_{3j} = A_{aj} M_j + C_{aj} Y_j + F_{cj} Z_j$$

$$\frac{\partial W_i}{\partial M_j} = \varphi_j = \frac{1}{B_j} \sin^2 \theta_i + \frac{t_i}{D_j} \left( \frac{t_i}{I_j \cos \alpha_i} \right)^2 + A_{aj} Z_j + A_{aj} Y_j$$

$$\therefore V_i A_{aj} = \frac{a_i^2}{GK} \sin Y_j \sin^2 \theta_i, \quad A_{aj} = \frac{a_i^2}{GK} \cos Y_j \sin^2 \theta_i, \quad C_{aj} = \frac{a_i^2}{GK} \sin^2 \theta_i \sin^2 Y_j + \frac{C_{ij}}{B_j} \frac{\cos^2 \theta_i}{\cos^2 \alpha_i}$$

$$C_{aj} = \frac{a_i^2}{GK} \cos^2 \theta_i \sin^2 Y_j + \frac{C_{ij}}{B_j} \frac{\sin^2 \theta_i}{\cos^2 \alpha_i}, \quad F_{cj} = \frac{a_i^2}{GK} \sin Y_j \cos \theta_i \sin^2 \theta_i + \frac{C_{ij}}{B_j} \frac{\sin^2 \theta_i \cos \theta_i}{\cos^2 \alpha_i}$$

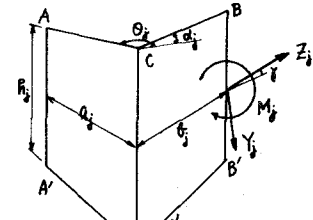


図-5

以上④、⑤式を⑦、⑧式に入れ、これらと①式を連立して解けばよい。

(2) a T場合。ハリは直接柱から反力を受けるので、ハリに作用する釣合条件式は①式。V\_i が 0 かつ  $R_y = R_z = 0$  とすればよい。すなアングルの変位に関する条件式は弾性支承アングルの  $Y_i$  方向の変位を  $\delta_{BY}$ 、 $\delta_{BZ}$  とすれば次式となる。

$$\delta_{2i} = (Z_i - Z_0)(1 - \cos \phi) + (Y_i - Y_0) \sin \phi + \delta_{BZ}, \quad \delta_{3i} = (Y_i - Y_0)(1 - \cos \phi) + (Z_i - Z_0) \sin \phi + \delta_{BY} \quad T: i = 1, 2, \dots, n \quad \text{--- ⑥}$$

$$\delta_{2j} = (Z_j - Z_0)(1 - \cos \phi) + (Y_j - Y_0) \sin \phi + \delta_{BZ}, \quad \delta_{3j} = (Y_j - Y_0)(1 - \cos \phi) + (Z_j - Z_0) \sin \phi + \delta_{BY} \quad T: j = 1, 2, \dots, l$$

アングルのリバウンド線の回転変位に関する式は③式と同じである。さらに各アングルの弾性变形、すなわちねじれ剛度と作用諸力との関係は次のようになる。

i) 下端アングルのある場合。本アングルのエネルギーは(i)と同様に  $\delta_{2i}$ 、一方  $R_y, R_z$  の作用点

は柱で拘束されず変位はない。すなわち  $\frac{\partial W_i}{\partial R_y} = 0, \frac{\partial W_i}{\partial R_z} = 0$  のことで  $R_y, R_z$  と  $M_i, Y_i$  および  $Z_i$  が表すように結合変位と作用諸力との関係は次のようになる。

$$B_i \cdot \delta_{BZ} = A_{ai} M_i + F_{ci} Y_i + C_{ai} Z_i, \quad B_i \cdot \delta_{BY} = A_{ai} M_i + C_{ai} Y_i + F_{ci} Z_i, \quad B_i \cdot \varphi_i = M_i \cdot \frac{1}{4} (a_i + 4t_i) + A_{ai} Y_i + A_{ai} Z_i \quad \text{--- ⑦}$$

$$\therefore V_i A_{ai} = \frac{t_i}{4} (a_i + 2t_i) \sin Y_i, \quad A_{ai} = \frac{t_i}{4} (a_i + 2t_i) \cos Y_i, \quad C_{ai} = \frac{t_i^2}{12} (3a_i + 4t_i) \sin^2 Y_i;$$

$$C_{ai} = \frac{t_i^2}{12} (3a_i + 4t_i) \cos^2 Y_i, \quad F_{ci} = \frac{t_i^2}{12} (3a_i + 4t_i) \sin Y_i \cos Y_i;$$

ii) 下端が腹部アングルの場合。結果のみ記せば次の通りである。

$$\delta_{2i} = \left( \frac{t_i}{2} \cos \theta_i + t_i \sin \theta_i \right) \varphi_i, \quad \delta_{3i} = \left( \frac{t_i}{2} \sin \theta_i + t_i \cos \theta_i \right) \varphi_i \quad \text{--- ⑧}$$

$$F_{ci} M_i + Z_i (\cos \theta_i + \frac{t_i}{R_i} \sin \theta_i) + Y_i (\sin \theta_i + \frac{t_i}{R_i} \cos \theta_i) = \left( \frac{t_i}{R_i} + \frac{t_i}{2Z_i} \right) \varphi_i$$

以上で各アングルの  $\delta, \varphi$  と作用諸力との関係が求められた。よってこれらと幾何学的条件より各アングルの変位式を導く。ハリの釣合条件を利用して、(i)の場合と同様に物理論解が可能となる。本研究には文部省科学研修費の補助を受けた旨を記す。

文献 ① 山崎；上下端および腹部アングル接合の弾性变形(子宮金剛前野洋子)，昭和36年：土木学会西部支部研究発表会テキスト。

② 山崎；剛域をもつて子宮金剛前野洋子，昭和36年：土木学会西部支部研究発表会概要。

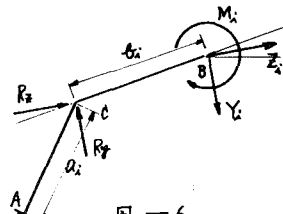


図-6

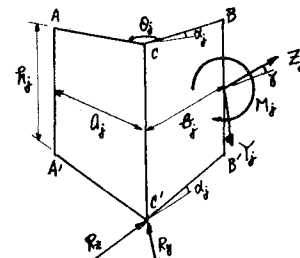


図-7